

林肯链霉菌谷氨酰胺合成酶的酶学性质*

金 肇** 杨蕴刘 焦瑞身

(中国科学院上海植物生理研究所 上海 200032)

摘要 在分离纯化的基础上, 报道了 pH、温度和金属离子对林肯链霉菌 (*Streptomyces lincolnensis*) Z-512 谷氨酰胺合成酶(GS)活力的影响及 GS 底物专一性的研究结果。在动力学性质的研究中, 发现林肯链霉菌 GS 在生物合成反应系统中, 对底物 NH_4Cl 的饱和曲线不遵守米氏方程。Hill 作图呈两相曲线。在 NH_4Cl 浓度低的情况下, Hill 系数大于 1, 具有正协同效应; 当 NH_4Cl 浓度增加到一定程度时, Hill 系数小于 1, 具有负协同效应。这说明 NH_4Cl 不仅作为林肯链霉菌 GS 的底物, 而且作为一种效应物调节 GS 的活性。林肯链霉菌 GS 对底物 Glu 及 ATP 的饱和曲线遵守米氏方程。在不同的激活离子存在下, GS 对 Glu、ATP 的 K_m 值也不同。

关键词 林肯链霉菌, 谷氨酰胺合成酶, 酶学性质

分类号 Q559

大部分抗生素分子中均含有氮, 而 60% 以上的抗生素是由链霉菌产生的。因此, 研究链霉菌的氨同化和氮代谢的调控具有十分重要的理论和实践意义。

我们在林肯链霉菌氨同化途径的研究中, 发现氨的同化主要经丙氨酸脱氢酶(ADH)途径和谷氨酰胺合成酶(GS)/谷氨酸合酶(Glutamate synthase)途径^[1]。谷氨酰胺合成酶是氨同化途径中一个重要的酶, 它同谷氨酸合酶偶联, 共同完成同化氨的过程。该酶的催化作用具有重要的生理功能, 研究其酶学性质是很有意义的, 因此许多实验室对不同生物的 GS 进行了广泛研究^[1,2]。本文在分离纯化的基础上, 系统地研究了林肯链霉菌 GS 的酶学性质。

1 材料和方法

1.1 菌种

林肯链霉菌 (*Streptomyces lincolnensis*) Z-512, 为华东理工大学惠赠, 经中国科学院上海植物生理研究所微生物室多次诱变获得的林可霉素高产菌株。

1.2 培养基、培养条件、主要仪器及电泳方法

参照文献 [3], 28℃ 发酵 108h。

1.3 酶缓冲液

咪唑-HCl 缓冲液: 咪唑 50mmol / L, MnCl_2 1mmol / L, pH 7.2.

* 本研究得到国家“863”计划、国家自然科学基金资助。

** 现在南京大学生物化学系医药生物技术国家重点实验室做博士后(210093)。

收稿日期: 1997-07-25

1.4 无细胞抽提液的制备

发酵 108h, 过滤收集菌体, 洗涤 2 次。50g 湿菌体悬浮于 400ml 缓冲液中。冰浴中, 超声波处理 30min。4℃ 18000r / min 离心 30min。弃去沉淀, 上清部分为无细胞抽提液。

1.5 蛋白质测定

参考 Bradford 方法^[4], 以牛血清白蛋白为标准。

1.6 酶活力测定

1.6.1 GS 转谷酰基活性: 采用 Bender^[2]的方法, 略有改动。反应液中含 135mmol / L 咪唑, 18mmol / L 羟胺, 0.27mmol / L MnCl₂, 25mmol / L 砷酸钾, 0.36mmol / L ADP 钠盐, pH7.0。取上述反应液 0.4ml, 加 0.05ml 适当浓度酶液, 于 37℃ 预热 5min, 加入 0.05mL L-Gln(终浓度 20mmol / L), 37℃ 保温反应 10min; 加入 1ml 反应终止液 (1000ml 中含 55g FeCl₃ · 6H₂O, 20g 三氯乙酸, 21ml 浓 HCl) 终止反应, 离心去掉蛋白, 于 540nm 处比色, 以不含砷酸钾和 ADP 的反应做空白对照。在此条件下, 1μmol 谷氨酰异羟肟酸显色后的

$OD_{540} = 0.532$ 。一个酶活单位定义为每分钟催化产生 1μmol 谷氨酰异羟肟酸的酶量。比活力为: μ / mg 蛋白。

1.6.2 GS 生物合成活力: 参照 Stadtman 等的方法^[5]。每分钟催化产生 1μmol 无机磷的酶量为一个酶活单位。比活力: μ / mg 蛋白。

1.7 谷氨酰胺合成酶的分离纯化

纯化过程所有操作均在 0~4℃ 条件下进行, 离心速度 18 000r / min, 时间为 30min。

1.7.1 硫酸铵分级沉淀: 向无细胞抽提液中加入 (NH₄)₂SO₄, 离心收集 50%~70% 饱和度的沉淀部分, 溶于少量缓冲液中, 透析过夜。

1.7.2 DEAE-52 柱层析: 柱体积为 2.5 × 30cm, 用含 0~1.0mol / L NaCl 的缓冲液线性梯度洗脱, 分部收集。作蛋白浓度和 GS 活力测定, 合并酶活性部分, 浓缩、透析。

1.7.3 Sepharose 6B 柱层析: 柱体积为 2.5 × 90cm, 用缓冲液洗脱, 分部收集, 合并酶活性部分, 超滤浓缩至 5ml。

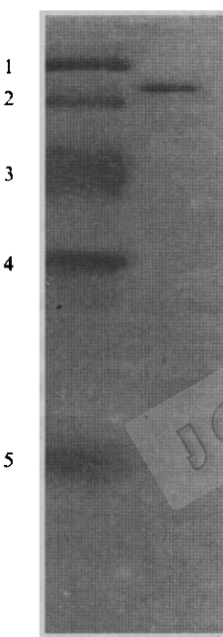


图 1 GS 的聚丙烯酰胺凝胶电泳图

Fig. 1 Polyacrylamide gel electrophoresis pattern of GS

Molecular mass standard:

1. Thyroglobulin (669 000);
2. Ferritin (440 000);
3. Catalase (232 000);
4. Lactate Dehydrogenase (140 000);
5. Albumin (67 000).

2 结果和讨论

2.1 GS 的分离纯化

经过硫酸铵分级沉淀、DEAE-52 离子交换层析、Sepharose 6B 凝胶过滤三步, 得到了纯化的 GS(图 1)。酶提纯的典型过程总结于表 1 中。

在硫酸铵分级沉淀和离子交换层析过程中, 我们发现高离子强度对 GS 酶活有明显的抑制作用, 当通过透析除去高浓度盐离子后, GS 活力又得到了恢复。

表1 林肯链霉菌Z-512 GS 的分离纯化

Table 1 Purification of glutamine synthetase from *S. lincolnensis* Z-512

步 骤	总体积 (ml)	蛋白总量 (mg)	比活力 (u/mg)	总活力 (u)	回收率 (%)	提纯倍数 (fold)
Purification step						
无细胞抽提液	380	419.5	3.36	1410	100	1
Crude extract						
硫酸铵分级沉淀	80	86.4	10.42	900	63.8	3.1
$(\text{NH}_4)_2\text{SO}_4$ precipitation						
DEAE-C52柱层析	20	7.4	60.70	449	31.9	18.1
DE-52 chromatography						
Sephadex G-25 chromatography	5	0.9	149.1	134	9.5	44.4

2.2 酶的稳定性

林肯链霉菌的 GS 相当稳定, 60℃ 保温 10min, 活力保持不变; 室温放置 1d, 活力基本不变; 4℃ 条件下, 保存 30d, 活力仍保留 90% 以上。

2.3 pH 对林肯链霉菌 GS 活力的影响

GS 生物合成活力 (GS_B) 是 GS 酶在生物体内的生理性催化反应, GS 转谷酰基活力 (GS_T) 是在体外检测和研究 GS 的重要反应, 所以研究这两个反应的一些性质是必要的。图 2 为 pH 值对 GS_B 和 GS_T 比活力的影响情况。在转谷酰基活性分析系统中, GS_T 的最适 pH 值为 7.0, 且各种氮源培养条件下得到的 GS 的 pH 曲线都相同。*E. coli* 的 GS 由于腺苷化程度不同, 其转谷酰基活性在某一 pH 处有相同的活性, 这一 pH 值称为等活性点 (isoactivity point)^[6]。在林肯链霉菌 GS 中不存在等活性点。在生物合成分析系统中, 金属激活离子不同, pH 对 GS 活力的影响也不同: 二价离子为 Mg^{2+} 时, GS_B 的最适 pH 值为 7.2; 而二价离子为 Mn^{2+} 时, GS_B 的最适 pH 值为 6.8。从图上还可以看到, GS_T 活力对 pH 变化呈“钟形”; 而 GS_B 对 pH 的变化比较独特, 在最适 pH 值以下, GS_B 对 pH 的变化很敏感, 但高于最适 pH 值时, GS_B 变化较迟钝, pH 值高达 8.8 时, 比活力仍能保持 50% 左右, 说明酶的 GS_B 活力对碱性环境有一定的抗性。这与林肯链霉菌生长过程中嗜碱、发酵液 pH 偏高相吻合^[7]。

2.4 林肯链霉菌谷氨酰胺合成酶的最适温度

林肯链霉菌 GS 转谷酰基活性的最适温度为 50℃; GS 生物合成活性的最适温度因金属激活离子不同而略有差异, 以 Mg^{2+} 作激活离子时, 最适温度为 36℃; 而以 Mn^{2+} 作激活离子时, 最适温

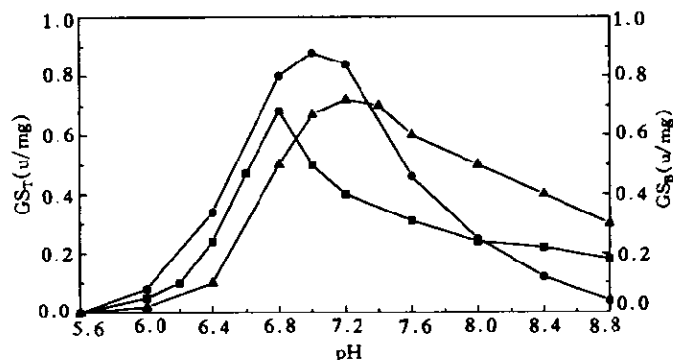


图2 pH 对林肯链霉菌 GS 活力的影响

Fig.2 Effects of pH on specific activity of glutamine synthetase from *Streptomyces lincolnensis*

●—● GS_T ; ▲—▲ GS_B , Mg^{2+} ; ■—■ GS_B , Mn^{2+}

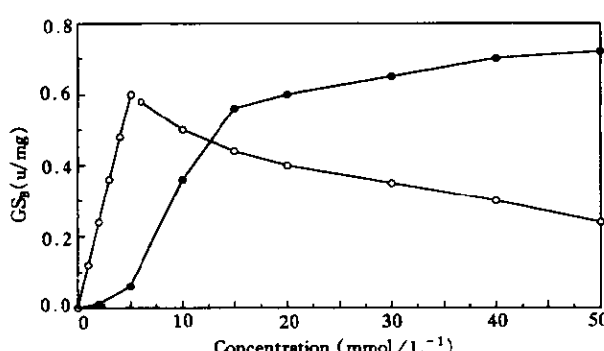
图3 Mg^{2+} 和 Mn^{2+} 对 GS_30 的影响

Fig.3 Effects of Mg^{2+} & Mn^{2+} on glutamine synthetase biosynthetic activity
 ●—● Mg^{2+} ; ○—○ Mn^{2+} .

速增加, Mn^{2+} 5mmol / L 时活力最高, 随后活力逐渐下降。随着 Mg^{2+} 浓度的增大, GS_30 逐渐增高。此现象同谷氨酸微球菌^[9, 10]和吸水链霉菌的 GS 很相似^[11]。

同时还观察了另外几种金属离子, Ca^{2+} 、 Co^{2+} 、 Fe^{3+} 对 GS_30 的作用, 发现在相同浓度下, 它们均没有 Mg^{2+} 、 Mn^{2+} 作用明显, 见表 2。

表2 各种金属离子对 GS_30 的作用

Table 2 Effects of metal ions on glutamine synthetase biosynthetic activity

金属离子 Metal ions (50mmol/L)	Mg^{2+}	Mn^{2+}	Ca^{2+}	Co^{2+}	Fe^{3+}
GS_30 (u)	0.731	0.516	0.214	0.036	0.024
相对活力 Relative activity (%)	100	70.6	29.3	4.9	3.3

2.5.2 Mn^{2+} 对 GS 具有稳定作用: 向 GS 酶液(缓冲液中含 1mmol / L $MnCl_2$) 中加入不同浓度的金属离子螯合剂 EDTA, 置 60℃ 水浴中保温 30min, 观察 GS 活力损失情况, 结果

表3 Mn^{2+} 对 GS 热稳定性的影响Table 3 Effects of Mn^{2+} on glutamine synthetase stability

$MnCl_2$ 浓度 Concentration of Mn^{2+} (mmol/L)	EDTA浓度 Concentration of EDTA (mmol/L)	60℃ 保温30min后 GS 残存活力 Remaining activity of GS (%)
1	0.	100
1	2.5	60
1	5.0	12
1	10.0	6
10	2.5	100
20	5.0	96
40	10.0	90

见表 3. 在林肯链霉菌中, 二价金属离子(如 Mn^{2+})不仅可以调节 GS 的活力, 为 GS 催化活性所必需, 而且对 GS 的稳定性也是必需的。GS 对热稳定的构象要靠金属离子(如 Mn^{2+})来支持。

2.5.3 一些金属离子对 GS 活力的抑制: 林肯链霉菌 GS 需要 Mn^{2+} 或 Mg^{2+} 激活, 而其它金属离子对 GS 活力有不同的抑制作用(表 4)。其中 Ba^{2+} 离子抑制作用最强, Fe^{3+} 的抑制作用较 Fe^{2+} 的强, 而 Co^{2+} 对 GS 活力的影响不大。

表4 金属离子对林肯链霉菌GS生物合成活力的抑制

Table 4 Inhibition of metal ions on glutamine synthetase biosynthetic activity

金属离子 Metal ions	残留活力 Remaining activity (%)	
	Mn^{2+} as cofactor	Mg^{2+} as cofactor
FeSO ₄	30	12
FeCl ₃	9	0
CoCl ₂	96	98
ZnCl ₂	31	8
CuSO ₄	72	18
CaCl ₂	48	6
Ba(OH) ₂	0	24

2.6 林肯链霉菌 GS 的底物专一性

在 GS 生物合成反应系统中, 采用 ATP 的类似物 GTP、CTP、UTP、ADP、NH₄Cl 的类似物羟胺进行了分析, 结果见表 5。GTP、CTP、UTP 取代 ATP 时 GS 无活力。ADP 取代 ATP 时, 与对照相比, Mn^{2+} 激活时, GS 活力只有 60%; Mg^{2+} 激活时, GS 活力只有 36%。羟胺取代 NH₄Cl, Mn²⁺ 激活时, GS 活力只有对照的 48%; Mg²⁺ 激活时, GS 活力只有对照的 31%。表明林肯链霉菌的 GS 具有较强的底物专一性。

表5 林肯链霉菌GS生物合成活力的底物专一性

Table 5 Substrate specificity of glutamine synthetase biosynthetic activity

底 物 Substrates	GS _B 相对活力 Relative activity (%)	
	Mn^{2+} as cofactor	Mg^{2+} as cofactor
ATP	100	100
GTP	0	0
CTP	0	0
UTP	0	0
ADP	60	36
NH ₄ Cl	100	100
NH ₂ OH	48	31

2.7 林肯链霉菌谷氨酰胺合成酶的动力学

林肯链霉菌 GS 催化的生物合成反应具有重要的生理意义。因此, 研究 GS 生物合成活性的动力学, 对了解 GS 的调节性质很有意义。

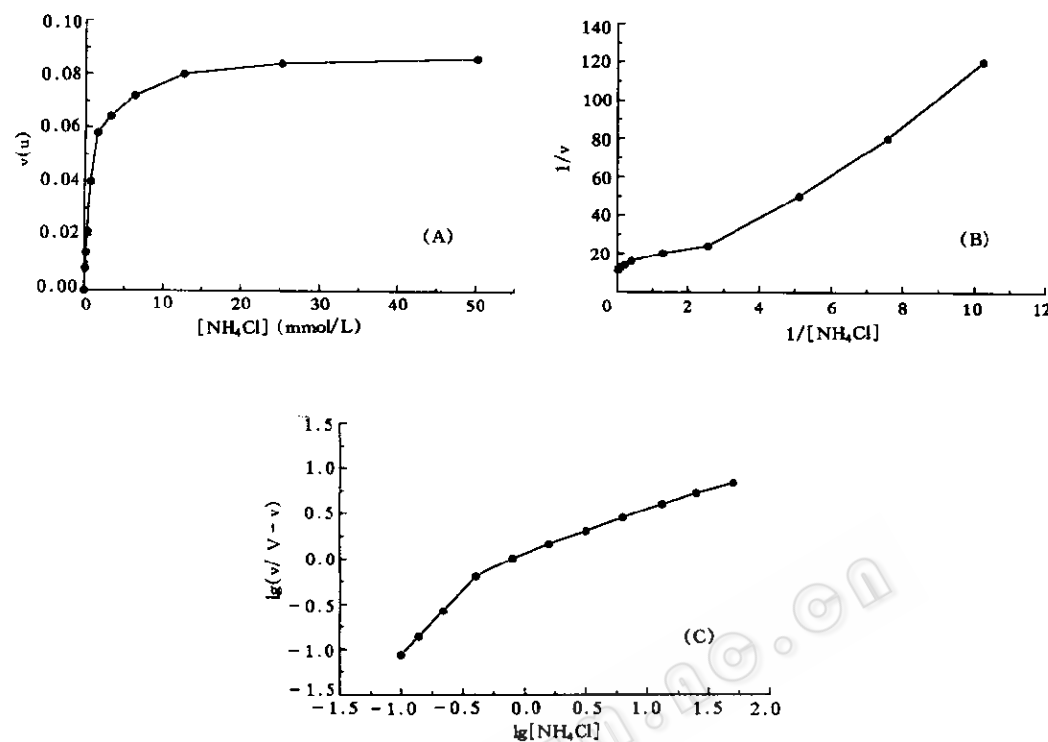


图 4 Mg^{2+} 作激活离子时 GS 对 NH_4Cl 的动力学曲线

Fig.4 The kinetic curves of glutamine synthetase for NH_4Cl with Mg^{2+} as cofactor
 (A) Saturation curve; (B) Lineweaver-Burk plot; (C) Hill profile.

林肯链霉菌 GS 与底物 NH_4Cl 的饱和曲线不遵守米氏方程。Hill 作图呈两相曲线。在标准分析条件下,当激活离子为 Mg^{2+} 时,林肯链霉菌 GS 对 NH_4Cl 的饱和曲线见图 4-A。双倒数作图呈两个反方向的月牙形(图 4-B),低浓度 NH_4Cl 情况下,表观 K_m 值为 $3.12 \times 10^{-4} mol / L$ 。Hill 系数 n 值分别为 1.43 和 0.49(图 4-C)。激活离子为 Mn^{2+} 时,GS 对 NH_4Cl 的饱和曲线见图 5-A。GS 最大活力范围很窄,当 NH_4Cl 浓度大于 $1\text{mmol} / L$ 时,活力反而下降。双倒数作图不呈直线(图 5-B)。在低浓度 NH_4Cl 的情况下,GS 对 NH_4Cl 的表观 K_m 值为 $2.89 \times 10^{-4} mol / L$ 。Hill 系数 n 值分别为 1.15 和 -0.45(图 5-C)。

上述结果表明,无论激活离子是 Mg^{2+} 还是 Mn^{2+} ,在 NH_4Cl 浓度低的情况下,Hill 系数均大于 1,具有正协同效应;当 NH_4Cl 浓度增加到一定程度时,Hill 系数则小于 1,具有负协同效应^[12]。这说明 NH_4Cl 不仅作为林肯链霉菌 GS 的底物,而且作为一种效应物调节 GS 的活性。

林肯链霉菌 GS 对底物 Glu 及 ATP 的饱和曲线遵守米氏方程,双倒数作图呈直线。但不同的激活离子,GS 对 Glu、ATP 的 K_m 值却不同。

另外,林肯链霉菌 GS 转谷酰基活力对底物 Gln、羟胺也遵从米氏方程,我们对其 K_m 值作了测定。现将林肯链霉菌 GS 的 K_m 值总结于表 6(GS 对底物 NH_4Cl 的饱和曲线不遵守米氏方程关系,表观 K_m 值均在低浓度 NH_4Cl 情况下求得)。

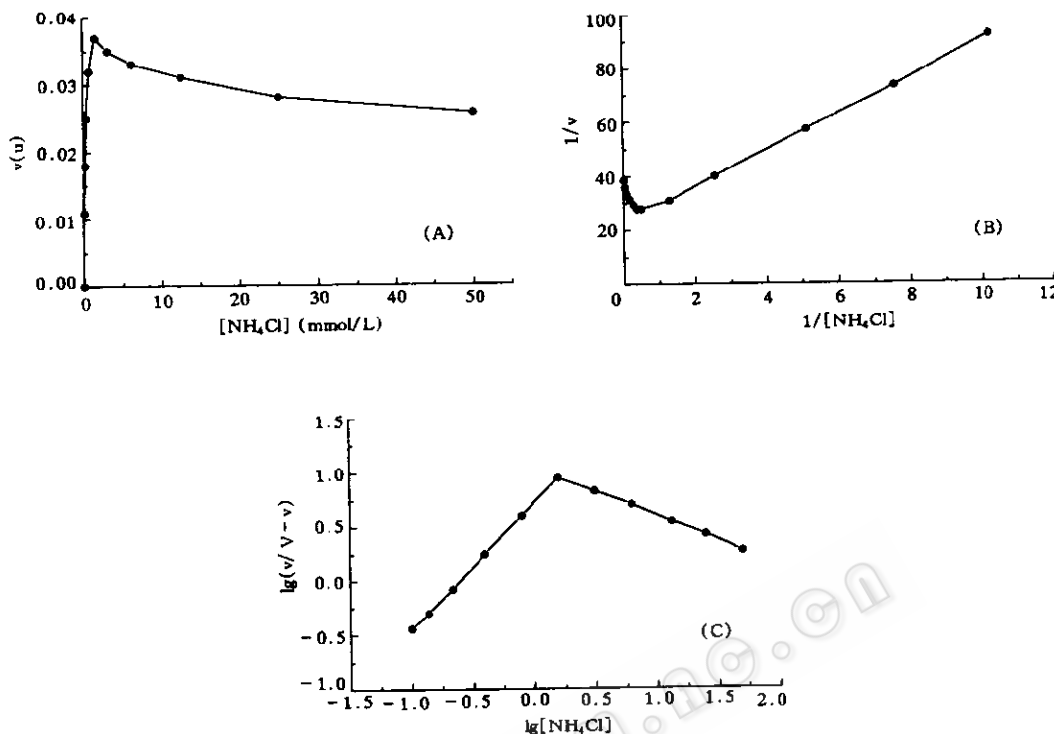


图 5 Mn^{2+} 作激活离子时 GS 对 NH_4Cl 的动力学曲线

Fig. 5 The kinetic curves of glutamine synthetase for NH_4Cl with Mn^{2+} as cofactor
 (A) Saturation curve; (B) Lineweaver-Burk plot; (C) Hill profile.

表6 林肯链霉菌GS的表现 K_m 值*

Table 6 Apparent Michaelis-Menten constants of glutamine synthetase from *Streptomyces lincolnensis*

底物	K_m (mmol/L)		
	转谷酰基活性	生物合成活性	Biosynthetic activity
Substrate	γ -glutamyltransferase activity	Mn^{2+} as cofactor	Mg^{2+} as cofactor
Gln	8.33		
NH_2OH	1.78		
Glu		1.49	1.64
NH_4Cl^*		0.289	0.312
ATP		0.123	0.433

Deuel 等报道, *B. subtilis* GS 的动力学不遵守米氏方程^[13], 与林肯链霉菌 GS 类似。但是两者也有差别, *B. subtilis* GS 与底物 NH_4Cl 、Glu 的饱和曲线都不遵守米氏方程, 而林肯链霉菌 GS 只是与底物 NH_4Cl 的饱和曲线不遵守米氏方程。

林肯链霉菌 GS 的动力学行为在很大程度上受到激活离子的影响。在 Mn^{2+} 为激活离子时, NH_4Cl 的饱和曲线与激活离子为 Mg^{2+} 时不同。不同的激活离子, GS 对 Glu、ATP 的 K_m 值也不同(表 6)。同时, GS 活力的最适 pH、对反馈抑制剂的敏感程度都因激活离子不

同而有差异。大肠杆菌 GS 由于激活离子存在与否而表现出两种不同的状态, 即紧密型(taut)和松弛型(relaxed), 这两种状态的 GS 对反馈抑制剂的响应, 及酶活力都不同^[8]。因此, 推测 Mn²⁺、Mg²⁺ 维持 GS 的不同构象, 调节了 GS 的活性^[14]。

参 考 文 献

- [1] Shapiro B M, Stadtman E R. *Ann Rev Microbiol*, 1970, **24**:501~24.
- [2] Bender R A, Janssen K A, Resnick A D et al. *J Bacteriol*, 1977, **129**:1001~1009.
- [3] Jin Zhe, Jiao R. *Science in China (Series C)*, 1998, **41**(1):37~46.
- [4] Bradford M M. *Anal Biochem*, 1976, **72**:248~254.
- [5] Shapiro B M, Stadtman E R. *Meth Enzymol*, 1970, **17A**: 910~922.
- [6] Stadtman E R, Ginsburg A, Ciardi J E et al. *Advan in Enzyme Regul*, 1970, **8**:99~118.
- [7] 金 著, 焦瑞身. 微生物学报, 1998, **38**(1): 37~43.
- [8] Stadtman E R, Ginsburg A. *Enzymes*, 1974, **10**:755~807.
- [9] Tachiki T, Wakisaka S, Kumagai H et al. *Agric Biol Chem*, 1981, **45**:1487~1492.
- [10] Tachiki T, Wakisaka S, Suzuki H et al. *Agric Biol Chem*, 1983, **47**:287~292.
- [11] 顾薇玲, 陆小燕, 耿运其等. 科学通报, 1984, **13**:817~819.
- [12] Levitzki A, Koshland D E. *Proc Natl Acad Sci USA*, 1969, **62**:1121~1128.
- [13] Deuel T F, Stadtman E R. *J Biol Chem*, 1970, **245**:5206~5213.
- [14] Chock P B, Huang C Y, Timmons R B et al. *Proc Natl Acad Sci USA*, 1973, **70**:3134~3138.

STUDIES ON CHARACTERIZATION OF GLUTAMINE SYNTHETASE FROM *STREPTOMYCES LINCOLNENSIS*

Jin Zhe Yang Yunliu Jiao Ruishen

(Shanghai Institute of Plant Physiology, Chinese Academy of Sciences, Shanghai 200032)

Abstract Glutamine synthetase from *Streptomyces lincolnensis* was purified to electrophoretic homogeneity. The effects of pH, temperature and metal ions on the purified enzyme were studied, and the substrate specificity of glutamine synthetase were reported. Under the standard biosynthetic assay system, the substrate saturation curves of glutamine synthetase from *Streptomyces lincolnensis* for ammonia did not agree with the Michaelis-Menten relationship, with either Mn²⁺ or Mg²⁺ as divalent cation, and Hill constants ≠ 1. The K_m values of GS for Glu and ATP were different with different divalent cation.

Key words *Streptomyces lincolnensis*, Glutamine Synthetase, Characterization